



MINISTÉRIO DA CIÊNCIA E TECNOLOGIA  
**INSTITUTO NACIONAL DE PESQUISAS ESPACIAIS**

**INPE-645-LAFE**

**TRANSPORTE DE CALOR SENSÍVEL NA ESTRATOSFERA DO  
HEMISFÉRIO SUL**

Kioshi Hada

Dissertação de Mestrado do Curso de Pós-Graduação em Meteorologia, orientada pelo  
Dr. V. Brahamananda Rao, aprovada em outubro de 1974.

INPE  
São José dos Campos  
1975

INPE-645-LAFE

TÍTULO: TRANSPORTE DE CALOR SENSÍVEL NA  
ESTRATOSFERA DO HEMISFÉRIO SUL

AUTOR: K. HADA

PROJETO: MESA

PUBLICADO EM: FEVEREIRO DE 1975



**SERVÍCIO PÚBLICO FEDERAL**

CONSELHO NACIONAL DE PESQUISAS

INSTITUTO DE PESQUISAS ESPACIAIS

São José das Campos - Estado de S. Paulo - Brasil

**TRANSPORTE DE CALOR SENSÍVEL NA ESTRATOSFERA**

**DO HEMISFÉRIO SUL**

Este relatório foi preparado, como parte dos requisitos necessários à obtenção do título de Mestre em Ciência Espacial e da Atmosfera, com especialização em Meteorologia, por Kioshi Hada, tendo como orientador o Dr. V. Brahamananda Rao, e sua publicação foi autorizada pelo abaixo assinado,

*Fernando Mendonça*  
Fernando de Mendonça  
Diretor Geral



PRESIDÊNCIA DA REPÚBLICA  
CONSELHO NACIONAL DE PESQUISAS  
INSTITUTO DE PESQUISAS ESPACIAIS  
São José dos Campos - Estado de S. Paulo - Brasil

Formulário PG-009

AVALIAÇÃO FINAL DE TRABALHO DE TESE

EXAMINANDO: Fís. Kioshi Hada

TÍTULO DO TRABALHO: Transporte de Calor Sensível na Estratosfera do Hemisfério Sul.

PERÍODO: 29 / 19 74 PROJETO: MESA

ORIENTADOR DE PESQUISA: Dr. V.B.Rao

ÁREA DE PÓS-GRADUAÇÃO: Ciência Espacial e da Atmosfera

MEMBRO DA BANCA: Dr. Luiz Alberto Vieira Dias

ASSINATURA DO MEMBRO: *[Signature]* Data: 15 / 10 / 74

INSTRUÇÕES AO EXAMINADOR

01. A apreciação de cada fator deverá ser efetuada pela colocação de um sinal no losango correspondente, à esquerda. Caso o examinador julgar que a apreciação está situada entre dois fatores subsequentes, deverá assinalar o losango correspondente, à direita.
02. O examinador deverá julgar, cada fator separadamente.
03. A avaliação é feita logo após o encerramento da exposição oral e arguição de questões.
04. A avaliação deve ser feita individualmente, por cada membro da Banca Examinadora.
05. Após o preenchimento deste formulário de avaliação, o mesmo deverá ser entregue ao Dr. Luiz Gylvan Meira Fº, Presidente da Banca Examinadora, o qual encaminhará para a Divisão de Ensino, para apuração do resultado final.

APRESENTAÇÃO FINAL REALIZADA EM 15 / 10 / 74.

HORA: 16:00 LOCAL: Anfiteatro

PRESIDENTE DA BANCA EXAMINADORA: Recebi do Examinador em: 15 / 10 / 74

Remetido à Divisão de Ensino em: 15 / 10 / 74

Assinatura: *Ricardo A. R. Palmeira* Data: 15 / 10 / 74



PRESIDÊNCIA DA REPÚBLICA  
CONSELHO NACIONAL DE PESQUISAS  
INSTITUTO DE PESQUISAS ESPACIAIS  
São José dos Campos - Estado de São Paulo - Brasil

Formulário PG-009

AVALIAÇÃO FINAL DE TRABALHO DE TESE

EXAMINANDO: Fís. Kioshi Hada

TÍTULO DO TRABALHO: Transporte de Calor Sensível na Estratosfera do Hemisfério Sul.

PERÍODO: 29 / 1974 PROJETO: MESA

ORIENTADOR DE PESQUISA: Dr. V.B. Rao

ÁREA DE PÓS-GRADUAÇÃO: Ciência Espacial e da Atmosfera

MEMBRO DA BANCA: Dr. Ricardo A.R. Palmeira - "ex-officio"

ASSINATURA DO MEMBRO: Ricardo A.R. Palmeira Data: 15 / 10 / 74

INSTRUÇÕES AO EXAMINADOR

01. A apreciação de cada fator deverá ser efetuada pela colocação de um sinal no losango correspondente, à esquerda. Caso o examinador julgar que a apreciação está situada entre dois fatores subsequentes, deverá assinalar o losango correspondente, à direita.
02. O examinador deverá julgar, cada fator separadamente.
03. A avaliação é feita logo após o encerramento da exposição oral e arguição de questões.
04. A avaliação deve ser feita individualmente, por cada membro da Banca Examinadora.
05. Após o preenchimento deste formulário de avaliação, o mesmo deverá ser entregue ao Dr. Luiz Gylvan Meira Fº, Presidente da Banca Examinadora, o qual encaminhará para a Divisão de Ensino, para apuração do resultado final.

APRESENTAÇÃO FINAL REALIZADA EM 15 / 10 / 74.

HORA: 16:00 LOCAL: Anfiteatro

PRESIDENTE DA BANCA EXAMINADORA: Recebido do Examinador em: 15 / 10 / 74  
Remetido à Divisão de Ensino em: 15 / 10 / 74

Assinatura: Ricardo A.R. Palmeira Data: 15 / 10 / 74



PRESIDÊNCIA DA REPÚBLICA  
CONSELHO NACIONAL DE PESQUISAS  
INSTITUTO DE PESQUISAS ESPACIAIS  
São José dos Campos - Estado de São Paulo - Brasil

Formulário PG-009

AVALIAÇÃO FINAL DE TRABALHO DE TESE

EXAMINANDO: Fís. Kioshi Hada

TÍTULO DO TRABALHO: Transporte de Calor Sensível na Estratosfera do Hemisfério Sul.

PERÍODO: 29 / 19 74 PROJETO: MESA

ORIENTADOR DE PESQUISA: Dr. V.B. Rao

ÁREA DE PÓS-GRADUAÇÃO: Ciência Espacial e da Atmosfera

MEMBRO DA BANCA: Dr. Y. Viswanadham

ASSINATURA DO MEMBRO: Y. Viswanadham Data: 15 / 10 / 74

INSTRUÇÕES AO EXAMINADOR

01. A apreciação de cada fator deverá ser efetuada pela colocação de um sinal no losango correspondente, à esquerda. Caso o examinador julgar que a apreciação está situada entre dois fatores subsequentes, deverá assinalar o losango correspondente, à direita.
02. O examinador deverá julgar, cada fator separadamente.
03. A avaliação é feita logo após o encerramento da exposição oral e arguição de questões.
04. A avaliação deve ser feita individualmente, por cada membro da Banca Examinadora.
05. Após o preenchimento deste formulário de avaliação, o mesmo deverá ser entregue ao Dr. Luiz Gylvan Meira FQ, Presidente da Banca Examinadora, o qual encaminhará para a Divisão de Ensino, para apuração do resultado final.

APRESENTAÇÃO FINAL REALIZADA EM 15 / 10 / 74.

HORA: 16:00 LOCAL: Anfiteatro

PRESIDENTE DA BANCA EXAMINADORA: Recebido do Examinador em: 15 / 10 / 74

Remetido à Divisão de Ensino em: 15 / 10 / 74

Assinatura: Ricardo A.R. Palmeiro Data: 15 / 10 / 74



PRESIDÊNCIA DA REPÚBLICA  
CONSELHO NACIONAL DE PESQUISAS  
INSTITUTO DE PESQUISAS ESPACIAIS  
São José dos Campos - Estado de São Paulo - Brasil

Formulário PG-009

AVALIAÇÃO FINAL DE TRABALHO DE TESE

EXAMINANDO: Físico Kioshi Hada

TÍTULO DO TRABALHO: Transporte de Calor Sensível na Estratosfera do Hemisfério Sul.

PERÍODO: 29 / 1974

PROJETO: MESA

ORIENTADOR DE PESQUISA: Dr. V.B.Rao

ÁREA DE PÓS-GRADUAÇÃO: Ciência Espacial e da Atmosfera

MEMBRO DA BANCA: Dr. V.B.Rao

ASSINATURA DO MEMBRO: V.B.Rao

Data: 15 / 10 / 74

INSTRUÇÕES AO EXAMINADOR

01. A apreciação de cada fator deverá ser efetuada pela colocação de um sinal no losango correspondente, à esquerda. Caso o examinador julgar que a apreciação está situada entre dois fatores subsequentes, deverá assinalar o losango correspondente, à direita.
02. O examinador deverá julgar, cada fator separadamente.
03. A avaliação é feita logo após o encerramento da exposição oral e arguição de questões.
04. A avaliação deve ser feita individualmente, por cada membro da Banca Examinadora.
05. Após o preenchimento deste formulário de avaliação, o mesmo deverá ser entregue ao Dr. Luiz Gylvan Meira Fº, Presidente da Banca Examinadora, o qual encaminhará para a Divisão de Ensino, para apuração do resultado final.

APRESENTAÇÃO FINAL REALIZADA EM 15 / 10 / 74.

HORA: 16:00 LOCAL: Anfiteatro

PRESIDENTE DA BANCA EXAMINADORA: Recebi do Examinador em: 15 / 10 / 74

Remetido à Divisão de Ensino em: 15 / 10 / 74

Assinatura: Ricardo A. P. Pimentel

Data: 15 / 10 / 74



PRESIDÊNCIA DA REPÚBLICA  
CONSELHO NACIONAL DE PESQUISAS  
INSTITUTO DE PESQUISAS ESPACIAIS  
São José dos Campos - Estado de São Paulo - Brasil

Formulário PG-009

AVALIAÇÃO FINAL DE TRABALHO DE TESE

EXAMINANDO: Fis. Kioshi Hada

TÍTULO DO TRABALHO: Transporte de Calor Sensível na Estratosfera do Hemisfério Sul.

PERÍODO: 29 / 1974

PROJETO: MESA

ORIENTADOR DE PESQUISA: Dr. V.B. Rao

ÁREA DE PÓS-GRADUAÇÃO: Ciência Espacial e da Atmosfera

MEMBRO DA BANCA: Dr. M.A. Abdu

ASSINATURA DO MEMBRO: M. A. Abdu

Data: 15 / 10 / 74

INSTRUÇÕES AO EXAMINADOR

01. A apreciação de cada fator deverá ser efetuada pela colocação de um sinal no losango correspondente, à esquerda. Caso o examinador julgar que a apreciação está situada entre dois fatores subsequentes, deverá assinalar o losango correspondente, à direita.
02. O examinador deverá julgar, cada fator separadamente.
03. A avaliação é feita logo após o encerramento da exposição oral e arguição de questões.
04. A avaliação deve ser feita individualmente, por cada membro da Banca Examinadora.
05. Após o preenchimento deste formulário de avaliação, o mesmo deverá ser entregue ao Dr. Luiz Gylvan Meira Fº, Presidente da Banca Examinadora, o qual encaminhará para a Divisão de Ensino, para apuração do resultado final.

APRESENTAÇÃO FINAL REALIZADA EM 15 / 10 / 74.

HORA: 16:00 LOCAL: Anfiteatro

PRESIDENTE DA BANCA EXAMINADORA: Recebido do Examinador em: 15 / 10 / 74

Remetido à Divisão de Ensino em: 15 / 10 / 74

Assinatura: Ricardo A.R. Palmeira Data: 15 / 10 / 74



PRESIDÊNCIA DA REPÚBLICA  
CONSELHO NACIONAL DE PESQUISAS  
INSTITUTO DE PESQUISAS ESPACIAIS  
São José dos Campos - Estado de São Paulo - Brasil

Formulário PG-009

AVALIAÇÃO FINAL DE TRABALHO DE TESE

EXAMINANDO: Fis.Kioshi Hada

TÍTULO DO TRABALHO: Transporte de Calor Sensível na Estratosfera do Hemisfério Sul.

PERÍODO: 29 / 19 74 PROJETO: MESA

ORIENTADOR DE PESQUISA: Dr.V.B.Rao

ÁREA DE PÓS-GRADUAÇÃO: Ciência Espacial e da Atmosfera

MEMBRO DA BANCA: Dr.Luiz Gylvan Meira Fº

ASSINATURA DO MEMBRO: \_\_\_\_\_ Data: 15 / 10 / 74

INSTRUÇÕES AO EXAMINADOR

01. A apreciação de cada fator deverá ser efetuada pela colocação de um sinal no losango correspondente, à esquerda. Caso o examinador julgar que a apreciação está situada entre dois fatores subsequentes, deverá assinalar o losango correspondente, à direita.
02. O examinador deverá julgar, cada fator separadamente.
03. A avaliação é feita logo após o encerramento da exposição oral e arguição de questões.
04. A avaliação deve ser feita individualmente, por cada membro da Banca Examinadora.
05. Após o preenchimento deste formulário de avaliação, o mesmo deverá ser entregue ao Dr.Luiz Gylvan Meira Fº, Presidente da Banca Examinadora, o qual encaminhará para a Divisão de Ensino, para apuração do resultado final.

APRESENTAÇÃO FINAL REALIZADA EM 15 / 10 / 74.

HORA: 16:00 LOCAL: Anfiteatro

PRESIDENTE DA BANCA EXAMINADORA: Recebi do Examinador em: \_\_\_\_ / \_\_\_\_ / \_\_\_\_

Remetido à Divisão de Ensino em: \_\_\_\_ / \_\_\_\_ / \_\_\_\_

Assinatura: \_\_\_\_\_ Data: \_\_\_\_ / \_\_\_\_ / \_\_\_\_

*Dedico à minha esposa*

*Miriam Hada*

## RESUMO

Para o cálculo do transporte de calor sensível na estratosfera inferior, usamos dados médio nos pontos da grade de 100mb e da dos diários de 30mb sob forma de cartas sinóticas analisadas nos dias se lecionados em inverno e primavera. Obtivemos a direção e intensidade do transporte, apontamos a dominância de certos harmônicos estacionários e transitórios na estratosfera inferior. Discutimos também os dois aquecimentos fracos em meados de inverno e o aquecimento final nos fins da primavera. Na estratosfera superior usamos dados de 4 estações de foguetes do Hemisfério Sul, a fim de calcularmos o transporte de calor sensível. O transporte geralmente é pequeno em todas as estações durante o verão. No inverno, entretanto, há grande transporte no sentido do polo sul nas estações situadas nas latitudes altas.

## ABSTRACT

The sensible heat transport in the lower stratosphere has been calculated using the mean grid point data of the 100mb and the daily data of 30mb analysed charts for a few days in winter and spring. The direction and intensity of the transport has been obtained and the dominance of certain stationary and transient harmonics in the lower stratosphere is pointed out. Two mild warmings during the mid winter and the final warming during the late spring were discussed. In the upper stratosphere the sensible heat transport has been calculated using the data of four Southern Hemisphere rocket stations. The transport is generally small at all the stations during the summer. In winter, however, there is a large transport towards the pole at high latitude stations.

## ÍNDICE DA MATERIA

I - TRANSPORTE DE CALOR SENSÍVEL NA ESTRATOSFERA DO HEMISFÉRIO SUL .....	1
1.1 - Introdução .....	1
II - TRANSPORTE DE CALOR SENSÍVEL POR HARMÔNICOS ESTACIONÁRIOS NA ESTRATOSFERA INFERIOR (100mb) .....	5
2.1 - Análise harmônica .....	5
2.2 - Dados .....	8
2.3 - Resultados .....	9
2.3.1 - Características das ondas estacionárias em 100mb .....	9
2.3.2 - Espectro do transporte de calor sensível em 100mb .....	9
2.3.3 - Transporte meridional total de calor sensí vel em 100mb .....	11
2.3.4 - Distribuição da temperatura média zonal nas latitudes em 100mb .....	14
III - TRANSPORTE DE CALOR SENSÍVEL POR HARMÔNICOS TRANSITÓRIOS DURANTE TEMPO DE AQUECIMENTO NA ESTRATOSFERA INFERIOR (30mb) .....	16
3.1 - Análise harmônica .....	16
3.2 - Dados .....	16
3.3 - Resultados .....	17
3.3.1 - Espectro do transporte de calor sensível por harmônicos transitórios em 30mb .....	17
3.3.2 - Transporte meridional total de calor sensí vel por harmônicos transitórios em 30mb .....	22
3.3.3 - Aquecimento brusco em meados de inverno .....	22
3.3.4 - Aquecimento final em primavera .....	24

IV	- TRANSPORTE DE CALOR SENSÍVEL POR PERTURBAÇÕES TRANSITÓRIAS NA ESTRATOSFERA SUPERIOR .....	25
4.1	- Método para cálculo do transporte de calor sensível..	25
4.2	- Resultados .....	27
V	- CONCLUSÕES .....	31
	REFERÊNCIAS .....	33

## LISTA DE FIGURAS

Figura II.1 -	Espectro do transporte de calor sensível no verão, ao nível de 100mb, por harmônicos estacionários .....	12
Figura II.2 -	Idem para o inverno .....	13
Figura II.3 -	Variação meridional da temperatura média zonal em 100mb .....	15
Figura II.4 -	Transporte meridional total de calor sensível por harmônicos estacionários, em inverno e verão, a 100mb .....	15
Figuras III.1 a III.4 -	Espectros do transporte de calor sensível, em dias de inverno e em dias de primavera, por harmônicos transitórios em 30mb .....	18
Figura III.5 -	Transporte meridional total de calor sensível por harmônicos transitórios, em dias de inverno e primavera, em 30mb.....	23
Figura III.6 -	Variação meridional da temperatura média zonal diária, a 30mb .....	23
Figuras IV.1 a IV.3 -	Variação do vento zonal, temperatura e transporte de calor sensível por perturbações transitórias, com a altitude e latitude na estratosfera, no inverno.....	28
Figuras IV.4 a IV.6 -	Idem para o verão: A - Ascension Island, MA - Mar Chiquita, MO - Moledezhanaja, N - Natal .....	29

## LISTA DE TABELAS

Tabela II.1	-	Amplitudes e fases das alturas geopotenciais da superfície isobárica de 100mb, em inverno e verão .....	10
Tabela IV.1	-	Distribuição do vento zonal, temperatura e transporte de calor sensível por turbulências transitórias, durante regime de verão, na estratosfera .....	30
Tabela IV.2	-	Distribuição do vento zonal, temperatura e transporte de calor sensível por turbulências transitórias,durante regime de inverno, na estratosfera.....	31

## LISTA DE SÍMBOLOS

- a Raio da Terra.
- f Parâmetro de Coriolis.
- g Aceleração da gravidade terrestre.
- i Índice.
- j Índice.
- p pressão.
- H Qualquer função expansível em série de Fourier.
- M Número de pontos de grade computacional.
- N Número de observações em tempo e em cada nível de altitude.
- S Transporte de calor sensível.
- T Temperatura
- V Vento meridional ou vento zonal (capítulo 4)
- $h_1$  Coeficiente seno de Fourier da expansão de H.
- $h_2$  Coeficiente cosseno de Fourier da expansão de H.
- $T_1$  Coeficiente seno de Fourier da expansão de T.
- $T_2$  Coeficiente cosseno de Fourier da expansão de T.
- $V_1$  Coeficiente seno de Fourier da expansão de V.
- $V_2$  Coeficiente cosseno de Fourier da expansão de V.
- ( $< >$ ) Símbolo que indica a média zonal.
- ( $-$ ) Símbolo que representa a média temporal.
- ( $'$ ) Símbolo que representa o desvio em relação à média temporal.
- $\lambda$  Longitude.
- $\phi$  Latitude.
- n Número de onda.

## CAPÍTULO I

### TRANSPORTE DE CALOR SENSÍVEL NA ESTRATOSFERA DO HEMISFÉRIO SUL

#### I.1 - INTRODUÇÃO

A circulação geral normalmente é estudada em termos do balanço de energia e da quantidade de movimento angular. Esse balanço, primeiro verificado por Starr (1954, 1960), foi demonstrado ser mantido por movimentos quase horizontais tanto na troposfera como na estratosfera inferior. Além disso, através de inferências indiretas por meio de substâncias tracejadoras, como o vapor de água, ozônio e substâncias radioativas, foi constatada a importância dos movimentos turbulentos (Starr, 1960).

Sugerem-se que a estratosfera inferior, após inúmeros estudos sobre o balanço de energia por diversos pesquisadores, tem movimentos forçados devido às seguintes evidências:

- 1) o transporte de calor sensível por processos turbulentos quase horizontais tem sentido contrários ao do gradiente de temperatura, que aponta para o polo (White, 1954). Isto insinua a transformação da energia potencial turbulenta disponível em zonal;
- 2) a energia cinética turbulenta é encontrada convertida em zonal (Oort, 1964);

- 3) a energia cinética turbulenta é encontrada convertida em energia potencial turbulenta disponível (White e Nolan, 1960; Oort, 1964);
- 4) a energia potencial disponível é continuamente destruída por processos radioativos (Newell, 1963; Oort, 1964).

Desse modo, é evidente que na estratosfera inferior não há geração de energia no local e necessita de fonte de energia externa. Estudos teóricos, realizados por Charney e Drazin (1961), e observacionais, por Newell (1966), sugeriram que o abastecimento de energia é realizado pela troposfera. Além disso, a teoria sugeriu que somente as ondas planetárias ultra-longas são capazes de propagar verticalmente suficiente quantidade de energia na forma geopotencial, e isto, de fato, está consistente com a predominância das ondas ultra-longas na estratosfera inferior. Particularmente na estratosfera inferior do H.N., há movimentos de grande interesse causados por aquela propagação de energia proveniente da troposfera. Um deles é o aquecimento brusco da estratosfera polar no inverno e na primavera.

Na estratosfera inferior em situação normal de inverno, a temperatura atinge máxima nas latitudes médias e decresce no sentido do polo, de maneira que as regiões polares e equatoriais são quase que igualmente frias (Figura II.3). Essa estratosfera polar fria também contém um vento zonal com cisalhamento uniforme de oeste.

De poucos em poucos anos, esta configuração normal de inverno é interrompida de uma maneira espetacular. Em um espaço de poucos dias,

o vórtice torna-se bastante distorcido e se desmembra com acompanhamento de aquecimento de grande escala que pode rapidamente inverter o gradiente meridional de temperatura e criar uma corrente circumpolar de ventos de leste (Reed, Wolfe e Nishimoto, 1963).

Os estudos sobre a energética do aquecimento feitos por Julian e Labitzke (1965), Miller (1970) e outros, confirmaram que a crescente propagação da energia troposférica por ondas ultra-longas 1 e 2 é essencial para o desenvolvimento do aquecimento brusco. Além disso, um dos importantes processos associados com o aquecimento é o transporte de calor sensível por essas ondas. Apesar de numerosos estudos sobre o aquecimento e processo associado para o hemisfério norte, a situação média de inverno e verão ainda não é bem conhecida. Estudos semelhantes para o hemisfério sul não foram possíveis devido à falta de dados.

A estratosfera superior também ainda não é bem conhecida, porém, sabe-se que, por meio de dados de satélites, os intensos aquecimentos bruscos comparáveis com os da estratosfera inferior do hemisfério norte ocorrem em níveis mais altos do hemisfério sul (Murgatroyd, 1970).

De acordo com os dados que dispomos, vamos calcular o transporte de calor sensível em três etapas. Este cálculo provará uma das evidências de que a estratosfera inferior do H.S. é uma região forçada. Tal fato vamos ver através de nossos resultados.

Na primeira etapa, usando análise harmônica, obtivemos im

portantes informações sobre ondas estacionárias e transporte de calor sensível no nível de 100mb em verão e inverno. Na segunda etapa, usando a mesma análise harmônica, obtivemos informação sobre o aquecimento brusco em inverno e primavera. Além disso, detectamos a onda predominante no período de aquecimento. Finalmente, na terceira etapa, calculamos o transporte de calor sensível por perturbações turbulentas transitórias, de maneira algébrica, nas verticais, sobre as quatro estações meteorológicas de foguetes no hemisfério sul.

## CAPÍTULO II

### TRANSPORTE DE CALOR SENSÍVEL POR HARMÔNICOS ESTACIONÁRIOS NA ESTRATOSFERA INFERIOR

#### 2.1 - ANÁLISE HARMÔNICA

Quando se estuda a circulação geral é conveniente desdobrar o escoamento em dois componentes: escoamento médio (na direção  $\lambda$ , longitude) e escoamento turbulento. Além disso, os componentes individuais de ondas zonais podem ser tratados como entidades físicas separadas (Saltzman, 1957). Isso sugere o uso da análise de Fourier para estudo das perturbações turbulentas characteristicamente do tipo onda. Vamos apresentar brevemente as expressões matemáticas para o transporte de calor sensível.

Qualquer função de longitude,  $H(\lambda)$ , comportando-se regularmente ao longo de uma dada latitude,  $\phi$ , e superfície isobárica,  $p$ , pode ser expressa em termos da expansão de Fourier do tipo

$$H(\lambda, \phi) = \langle H(\phi) \rangle + \sum_{n=1}^{\infty} [h_1(n, \phi) \cos(n\lambda) + h_2(n, \phi) \sin(n\lambda)] \quad (\text{II.1})$$

onde "n" é o número de onda em torno do círculo de latitude,  $H(\phi)$ ,  $h_1$  e  $h_2$  são os coeficientes de Fourier definidos por

$$\langle H(\phi) \rangle = \frac{1}{2\pi} \int_0^{2\pi} H(\lambda, \phi) d\lambda \quad (\text{II.2})$$

$$h_1(n, \phi) = \frac{1}{\pi} \int_0^{2\pi} H(\lambda, \phi) \cos(n\lambda) d\lambda \quad (\text{II.3})$$

$$h_2(n, \phi) = \frac{1}{\pi} \int_0^{2\pi} H(\lambda, \phi) \sin(n\lambda) d\lambda \quad (\text{II.4})$$

O  $H(\lambda, \phi)$  representa a altura da superfície isobárica ou a temperatura. O componente meridional do vento geostrófico, definido por

$$V(\lambda, \phi) = \frac{g}{f a \cos(\phi)} \frac{\partial H}{\partial \lambda}, \quad (\text{II.5})$$

e a temperatura, podem ser expressos nas formas

$$V(\lambda, \phi) = \sum_{n=1}^{\infty} [V_1(n, \phi) \cos(n\lambda) + V_2(n, \phi) \sin(n\lambda)] \quad (\text{II.6})$$

$$T(\lambda, \phi) = \langle T(\phi) \rangle + \sum_{n=1}^{\infty} [T_1(n, \phi) \cos(n\lambda) + T_2(n, \phi) \sin(n\lambda)] \quad (\text{II.7})$$

onde  $g$ ,  $f$  e  $a$  são a aceleração da gravidade terrestre, parâmetro de coriolis e o raio da Terra, respectivamente.

A função espectral do transporte meridional turbulento de calor sensível, através da latitude e por unidade de diferença de pressão, é dada por

$$S(n, \phi) = \frac{\pi a \cos(\phi)}{g} (V_1 \cdot T_1 + V_2 \cdot T_2) \quad (\text{II.8})$$

onde os coeficientes de Fourier são

$$V_1(n, \phi) = \frac{gn}{f a \cos(\phi)} h_2(n, \phi) \quad (II.9)$$

$$V_2(n, \phi) = - \frac{gn}{f a \cos(\phi)} h_1(n, \phi) \quad (II.10)$$

$$T_1(n, \phi) = \frac{1}{\pi} \int_0^{2\pi} T(\lambda, \phi) \cos(n\lambda) d\lambda \quad (II.11)$$

$$T_2(n, \phi) = \frac{1}{\pi} \int_0^{2\pi} T(\lambda, \phi) \sin(n\lambda) d\lambda \quad (II.12)$$

de maneira que agora  $h_1$  e  $h_2$  são os coeficientes de Fourier da expansão da altura isobárica.

Para fins de computação, os coeficientes de Fourier podem ser calculados pelas fórmulas abaixo

$$\langle H(\phi) \rangle = \frac{1}{M} \sum_{j=1}^M H(\lambda_j, \phi) \quad (II.13)$$

$$h_1(n, \phi) = \frac{2}{M} \sum_{j=1}^M H(\lambda_j, \phi) \cos(n\lambda_j) \quad (II.14)$$

$$h_2(n, \phi) = \frac{2}{M} \sum_{j=1}^M H(\lambda_j, \phi) \sin(n\lambda_j) \quad (II.15)$$

Ao realizar a análise harmônica é necessário selecionar um número finito de harmônicos, como base para a representação de Fourier. Em nosso caso, vamos tomar até o décimo harmônico, baseando na informação em 36 (M) pontos ao longo do círculo de latitude.

## 2.2 - DADOS

Os dados de temperatura e altura geopotencial médios men  
saís de longo termo, no nível isobárico de 100mb, durante o inverno (ju  
lho) e verão (janeiro), tiramos do "CLIMATE OF THE UPPER AIR: SOUTHERN  
HEMISPHERE", publicado em 1969.

Esses dados estão em forma de tabela e para a obtenção dos mesmos foram utilizados dados de sondagem por radar e rádio, de diversas instituições do mundo que operam com a meteorologia. As unidade de tempe  
ratura e altura geopotencial são graus centígrados e metros geopotenciais,  
respectivamente.

Os dados superiores não têm boa distribuição espaço-tempo  
ral, além disso, há diferença de instrumentação e procedimento de avalia  
ção dessas diferentes instituições. Portanto, acredita-se que os resulta  
dos das médias mensais efetuados pelos autores dessa publicação possam ex  
pressar as condições médias mensais de longo tempo.

## 2.3 - RESULTADOS

### 2.3.1 - Características das ondas estacionárias em 100mb

A Tabela II.1 mostra os resultados da computação das amplitudes e fases da altura geopotencial, no domínio do número de onda. As amplitudes das ondas, em geral, são maiores no inverno do que no verão, particularmente nas regiões polares. Geralmente, a onda de número de onda 1 domina o escoamento e isso está consistente com a teoria de Charney e Drazin (1961).

As fases das ondas geralmente aumentam com a latitude até  $50 - 60^{\circ}$ S e ao sul de  $60^{\circ}$ S elas se mantêm constantes ou decrescem. Isso sugere que as ondas se inclinam para leste com o aumento da latitude até  $50 - 60^{\circ}$ S e depois para oeste. Sabe-se que esse tipo de inclinação causa transporte de quantidade de movimento angular no sentido sul até  $60^{\circ}$ S, e no sentido norte na região ao sul de  $60^{\circ}$ S. Assim, há convergência da quantidade de movimento angular ao redor de  $60^{\circ}$ S onde encontramos fortes ventos zonais que formarão o jato da noite polar nos níveis mais altos. Essa configuração do campo de escoamento também é observada no hemisfério norte.

### 2.3.2 - Espectro do transporte de calor sensível em 100mb

O transporte meridional, através das latitudes de  $20^{\circ}$ - $80^{\circ}$ S ao longo da superfície de 100mb, foi calculado através de equação (8), no inverno (julho) e verão (janeiro). Na estratosfera inferior (100mb) o trans-

TABELA II.1

AMPLITUDES E FASES DA ALTURA GEOPOTENCIAL  
EM DIVERSAS LATITUDES

JANEIRO						
LATITUDE	30	40	50	60	70	80
Nº DE ONDA DOMINANTE	I	2	I	I	I	I
AMPLITUDE 1	36	12	61	67	58	52
AMPLITUDE 2	12	18	6	6	6	9
AMPLITUDE 3	20	7	17	11	3	0.5
FASE 1	8	38	200	225	237	236
FASE 2	88	83	33	339	343	332
FASE 3	144	135	138	143	155	64
JULHO						
LATITUDE	30	40	50	60	70	80
Nº DE ONDA DOMINANTE	I	3	I	I	I	I
AMPLITUDE 1	46	8	80	147	52	57
AMPLITUDE 2	34	33	23	37	19	6
AMPLITUDE 3	26	39	54	41	12	5
FASE 1	23	43	134	217	242	248
FASE 2	87	90	193	281	206	144
FASE 3	134	153	207	164	133	65

porte é devido, principalmente, às ondas estacionárias (Kao e Sagendorf, 1970).

A distribuição espectral do transporte meridional em inverno e verão, está representada nas Figuras II.1 e II.2, respectivamente. Deste espectro podemos ver que o transporte geralmente é no sentido do polo sul e maior no inverno do que no verão. O harmônico 1 é dominante em ambas as estações do ano e o transporte pelo mesmo é bem maior nas latitudes altas no inverno. Pela Figura II.2 podemos ver que o transporte através de  $60^{\circ}$  Sul é maior que de  $70^{\circ}$ S que, por sua vez, é maior que de  $80^{\circ}$ S. Neste caso, temos uma convergência de calor sensível pela onda 1 dentro de  $60 - 80^{\circ}$ S. Do mesmo ponto de vista, temos divergência de calor dentro de  $50 - 60^{\circ}$ S.

O transporte em direção polar ou equatorial, a fim de manter o balanço de calor sensível na estratosfera inferior, pode ser melhor visto através do transporte meridional total de calor sensível. Pelo fato de somente os primeiros três ou quatro harmônicos serem dominantes, podemos tomar apenas os cinco primeiros harmônicos.

### 2.3.3 - Transporte meridional total de calor sensível em 100mb

Somando-se os 5 harmônicos obtivemos o transporte total. Os resultados estão "plotados" na Figura II.4. No verão, o transporte total é pequeno e dirigido principalmente para o polo sul. No inverno, o transporte também está dirigido para o polo sul, exceto em  $40^{\circ}$ S, com pequeno

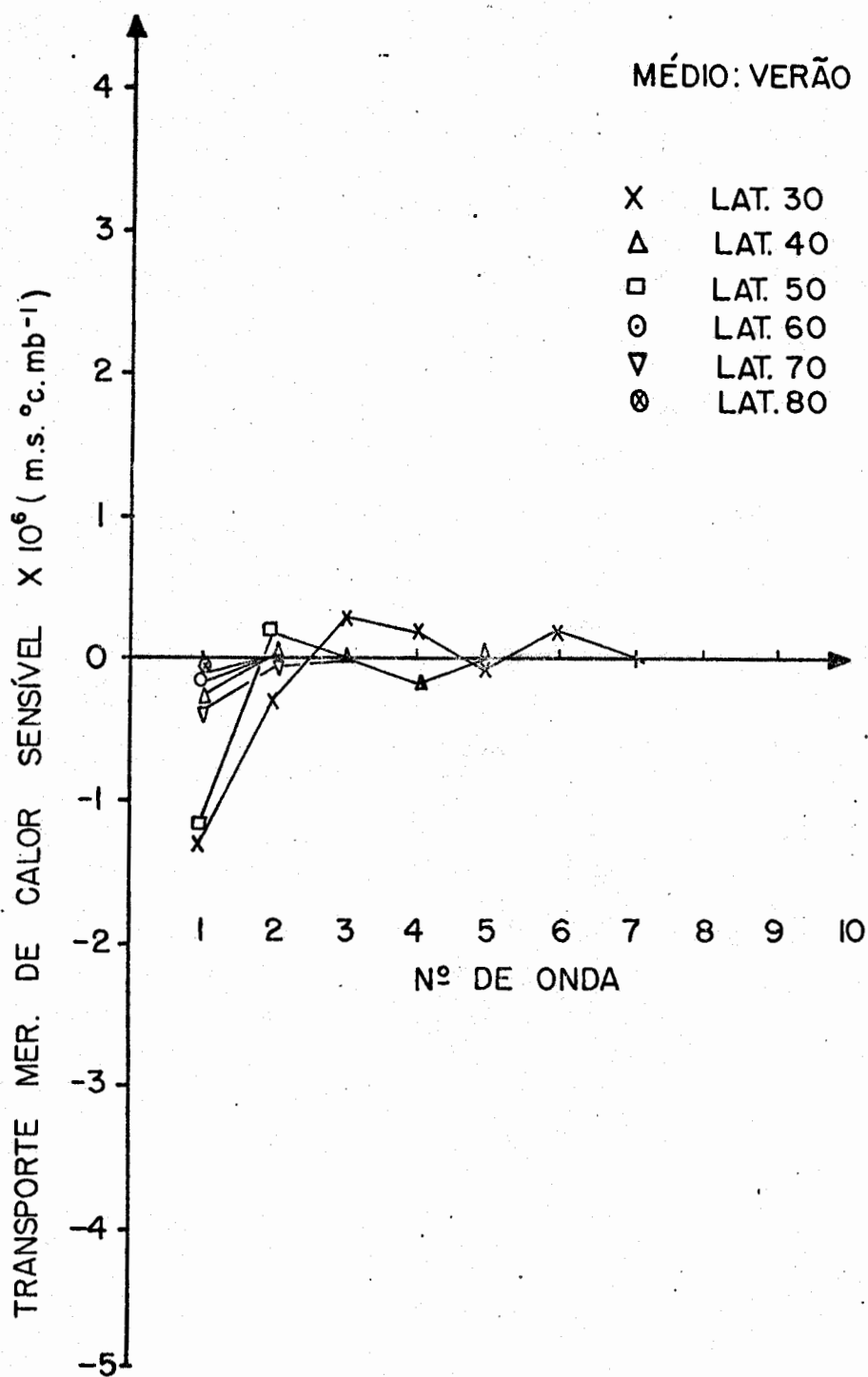


Fig. II.1 - Espectro do transporte de calor sensível no verão ao nível de 100mb, por harmônicos estacionários.

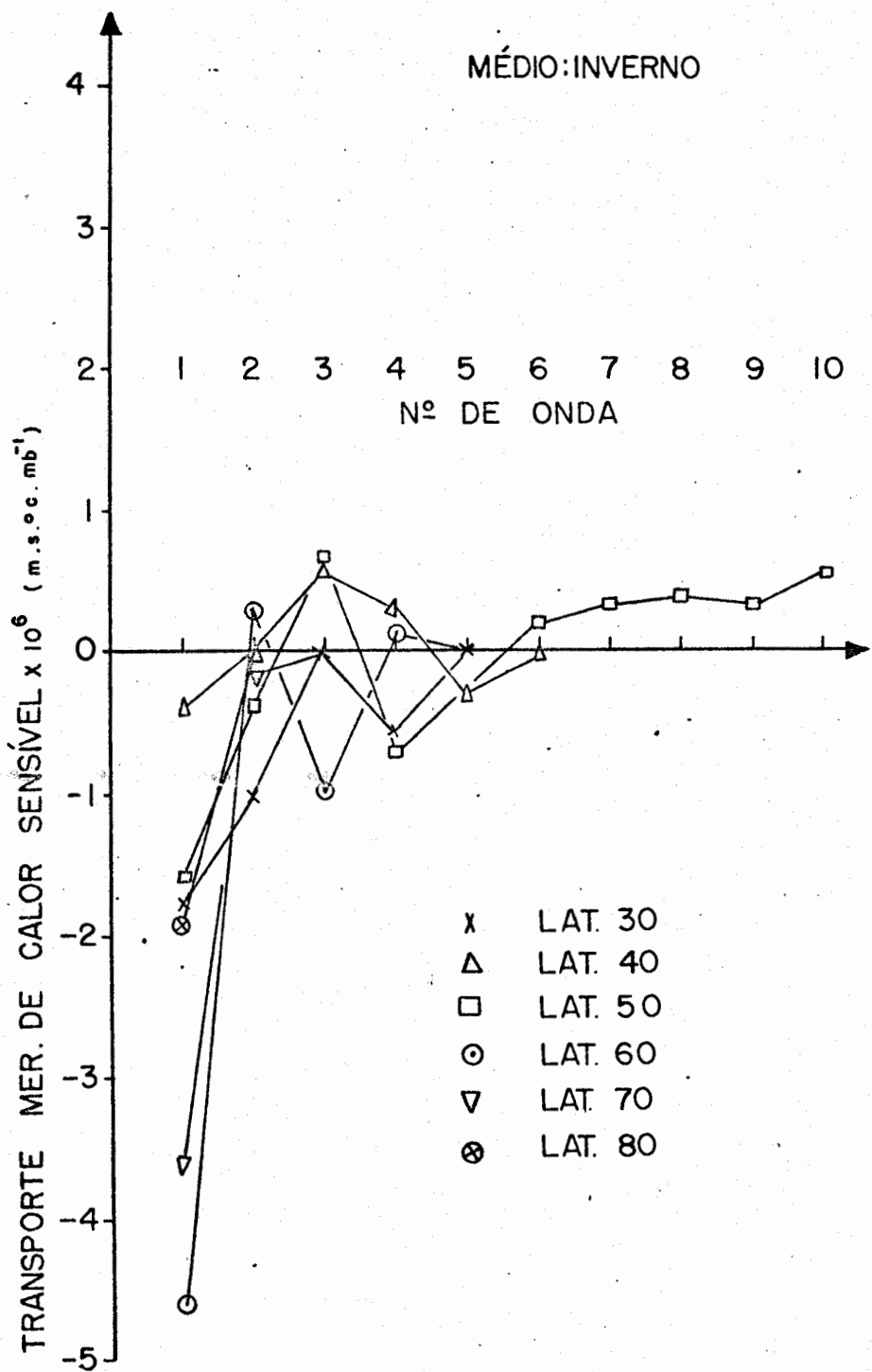


Fig. II.2 - Espectro do transporte de calor sensível no inverno ao nível de 100mb, por harmônicos estacionários.

transporte na direção equatorial. Porém, a intensidade de transporte é bem maior que aquela no verão, principalmente nas latitudes altas.

O máximo transporte está no inverno, em  $60^{\circ}\text{S}$ , e no verão em  $50^{\circ}\text{S}$ . Portanto, as latitudes altas desde  $60^{\circ}\text{S}$  a  $80^{\circ}\text{S}$  no inverno, são regiões de convergência de calor. Isso nos leva a inferir a necessidade de importação de calor nessas regiões para compensar a possível perda de calor devido à radiação. O fato do máximo transporte em  $60^{\circ}\text{S}$  (no inverno) passar para  $50^{\circ}\text{S}$  (no verão), significa o efeito da migração da posição do sol em direção norte. Resultado semelhante para o hemisfério norte foi obtido por Kao e Sagendorf (1970) e Peixoto (1960).

#### 2.3.4 - Distribuição da temperatura média zonal em latitudes

A temperatura média foi calculada através da equação (2). Os resultados estão representados pela Figura II.3. Tanto no inverno como no verão, o gradiente de temperatura está dirigido para o equador exceto ao sul de  $50^{\circ}\text{S}$  no inverno, onde o gradiente de temperatura está dirigido para o pólo sul. Isso sugere que, no inverno, há conversão de energia potencial zonal para turbulenta. Consequentemente, o transporte de calor no inverno (exceto nas latitudes altas) e no verão tem sentido contrário ao do gradiente de temperatura. Esse resultado concorda com as conclusões de Kao e Sagendorf (1970) e White (1954) para o hemisfério norte.

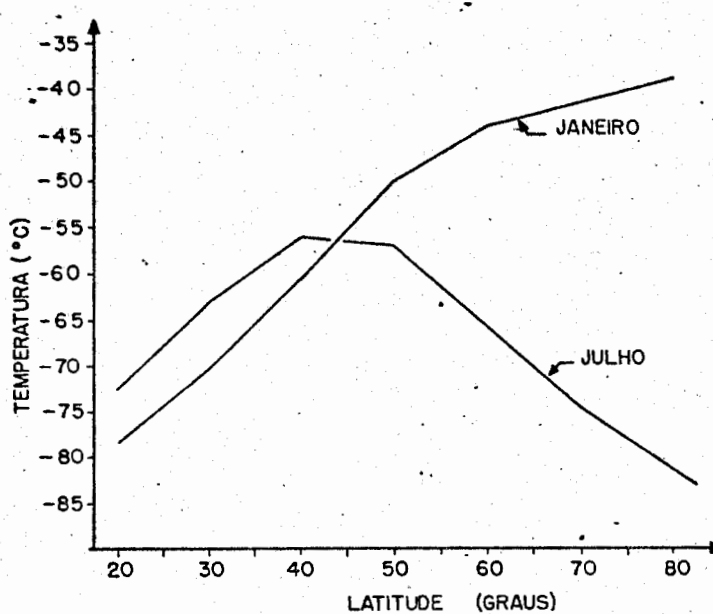


Fig. II.3 - Variação meridional da temperatura média zonal em 100mb.

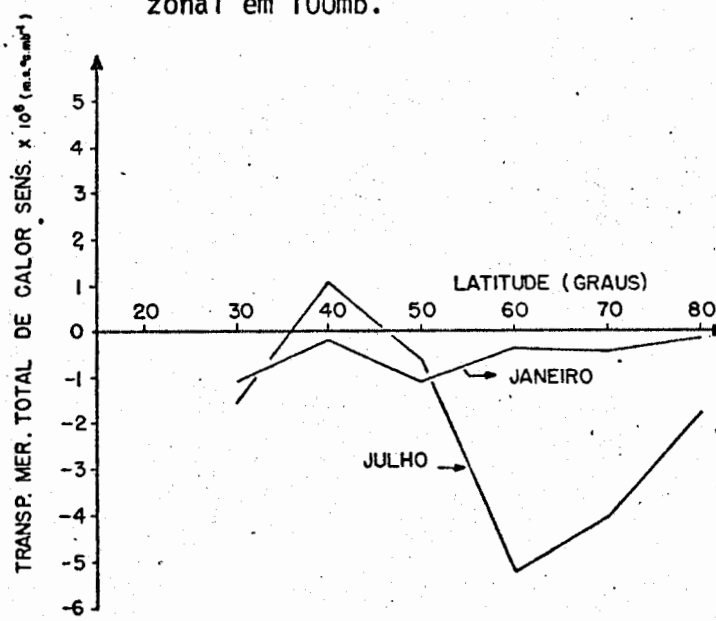


Fig. II.4 - Transporte meridional total de calor sensível por harmônicos estacionários, em inverno e verão, em 100mb.

## CAPÍTULO III

### TRANSPORTE DE CALOR SENSÍVEL POR HARMÔNICOS TRANSITÓRIOS DURANTE O TEMPO DE AQUECIMENTO NA ESTRATOSFERA INFERIOR (30mb)

#### 3.1 - ANÁLISE HARMÔNICA

A teoria aplicada neste capítulo é a mesma que a do capitulo II. Para fins de computação, usamos os mesmos argumentos adotados naquele capítulo.

#### 3.2 - DADOS

Os dados de temperatura e altura geopotencial em 30mb nos dias selecionados durante o inverno (18/6, 9/7, 13/8, 17/8, 20/8, 27/8), e a primavera (29/10, 5/11, 19/11) do ano de 1969, foram obtidos do Miller et al (1970), sob a forma de cartas sinóticas.

Em nosso trabalho esses dados foram interpolados linearmente em M pontos ( $M=36$ ) da grade, ao longo de cada círculo de latitude desde  $40^{\circ}$ S até  $80^{\circ}$ S, com intervalos de  $10^{\circ}$  em latitude e  $10^{\circ}$  em longitude. As unidades para temperatura e altura geopotencial são  $^{\circ}$ C e metro geopotencial, respectivamente.

A cobertura de dados no hemisfério sul, principalmente no

inverno e na primavera quando ocorria o fenômeno de aquecimento era muito insatisfatória. O lançamento de um satélite com radiômetro multicanal de espectrômetro de infravermelho em 1969, Nimbus III, permitiu grande aumento de dados.

Nas análises sinóticas feitas pelos citados autores, primeiro foram utilizados somente dados de radar convencional, de maneira a obter uma estimativa compatível com os dados de satélite.

### 3.3 - RESULTADOS

#### 3.3.1 - Espectro do transporte de calor sensível por harmônicos transitórios em 30mb

Neste caso, o transporte também foi calculado através da equação II.8.0. Os resultados estão representados pelas Figuras III.1 a III.4. Através dessas figuras podemos ver que o transporte na direção polar é dominado pelos primeiros 3 ou 4 harmônicos. Além disso, podemos ver a predominância do harmônico 2 nos dias de inverno e do harmônico 1 nos dias de primavera. O transporte também é maior nas latitudes mais altas. Nas latitudes mais baixas ( $40^{\circ}$  e  $50^{\circ}$ S) o harmônico 1 é dominante no inverno e 2 ou 3, em primavera. Por outro lado, nas latitudes altas o harmônico 1 é dominante na primavera e o harmônico 2, no inverno.

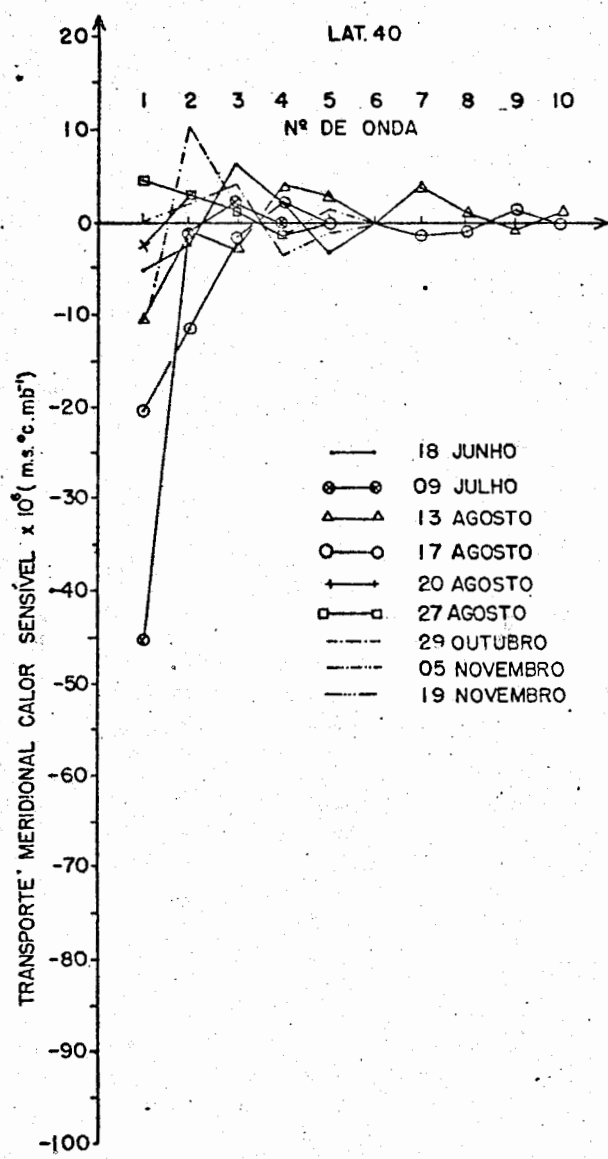


Fig. III.1 - Espectros do transporte de calor sensível, em dias de inverno e em dias de primavera, por harmônicos transitórios em 30mb (Lat. 40°).

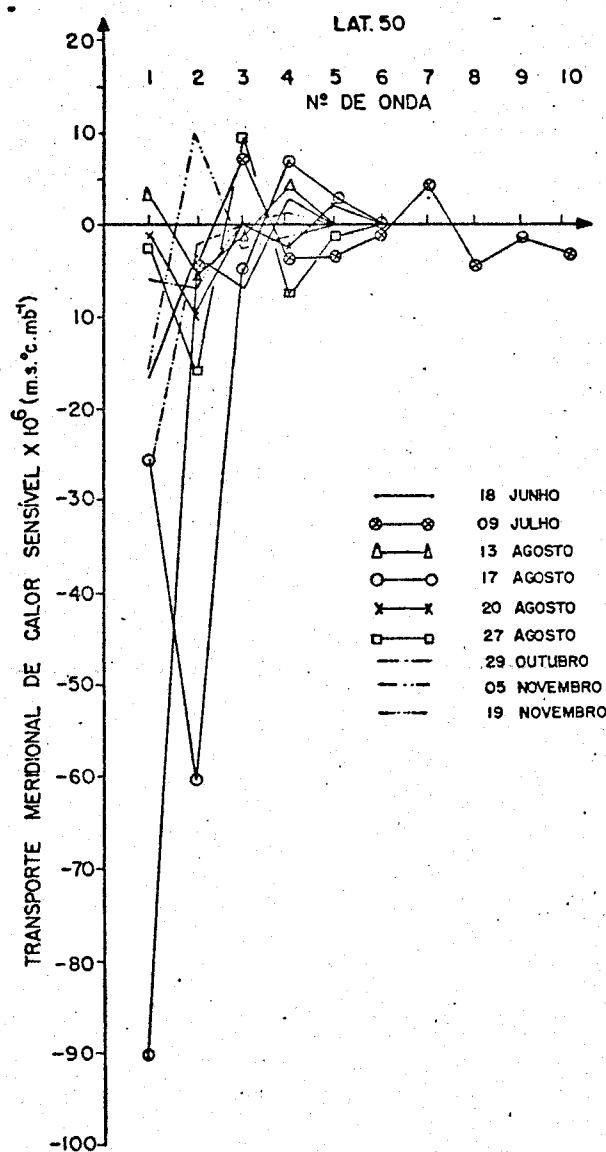


Fig. III.2 - Espectros do transporte de calor sensível.  
em dias de inverno e em dias de primavera,  
por harmônicos transitórios em 30mb (Lat.  
 $50^{\circ}$ ).

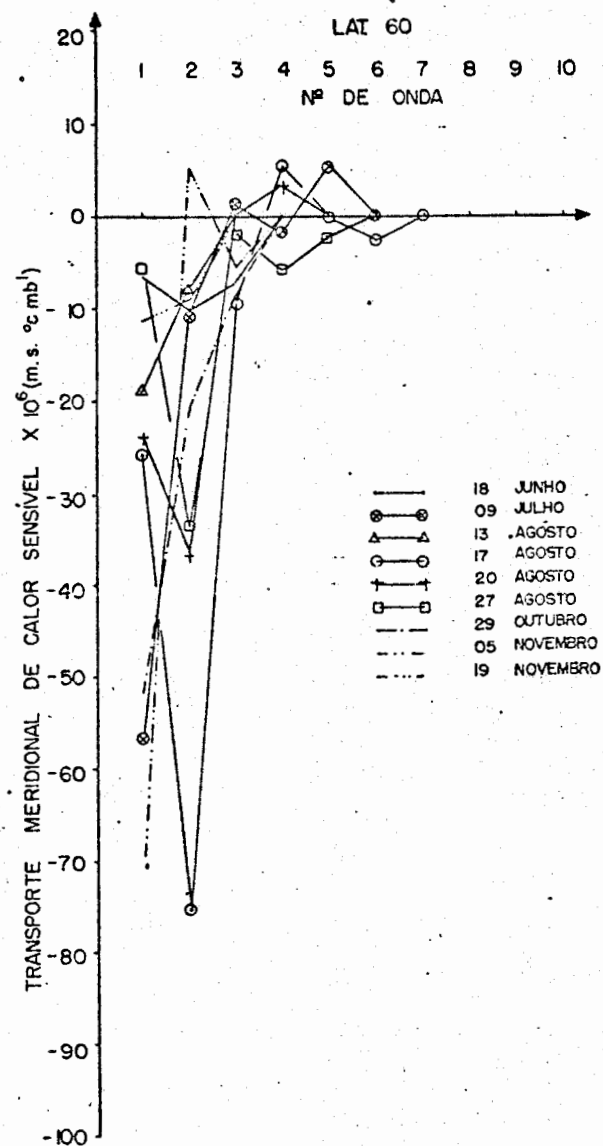


Fig. III.3 - Espectros do transporte de calor sensível, em dias de inverno e em dias de primavera, por harmónicos transitórios em 30mb (Lat. 60°).

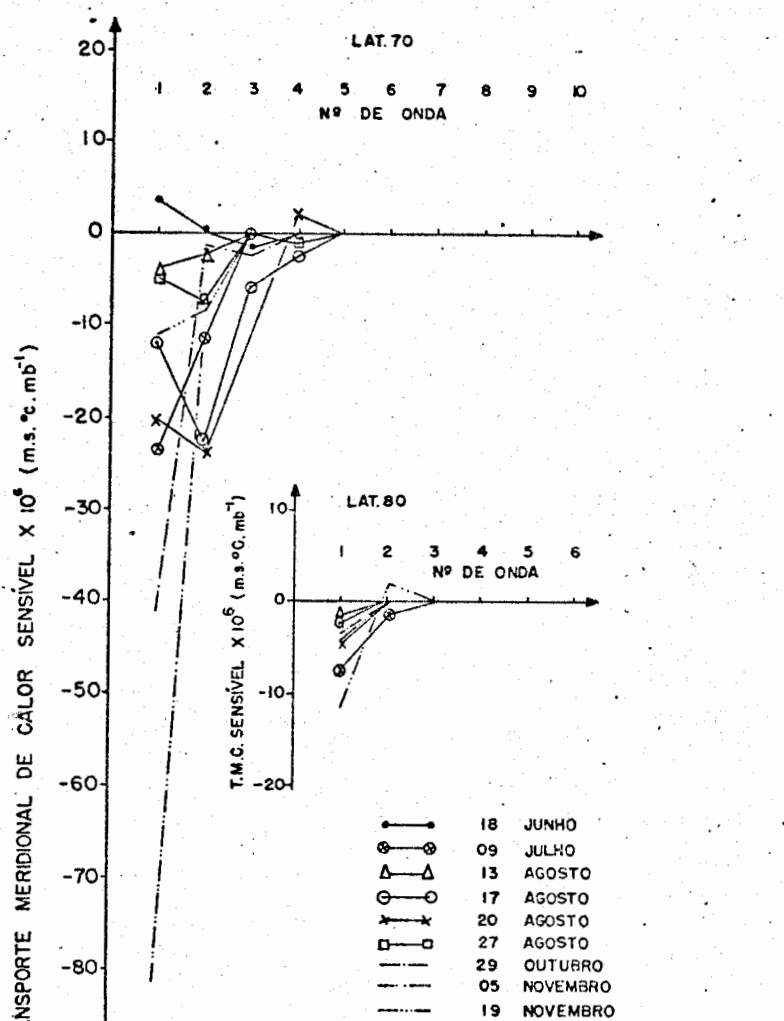


Fig. III.4 - Espectros do transporte de calor sensível, em dias de inverno e em dias de primavera, por harmônicos transitórios em 30mb (Lat. 70°).

3.3.2 - Transporte meridional total de calor sensível por harmônicos transitórios em 30mb

A Figura III.5 nos mostra o transporte meridional total de calor sensível pelos primeiros 5 harmônicos. Tanto em dias de inverno como primavera, o transporte total está dirigido para o polo sul. O transporte total através da latitude  $80^{\circ}\text{S}$  é pequeno; através da latitude  $40^{\circ}\text{S}$ , no inverno e na primavera, pode ser tanto na direção equatorial como polar. O transporte através de  $50^{\circ}\text{S}$ , em meados de inverno, é maior que nas latitudes altas, ao passo que na primavera o máximo transporte é através de  $60$  ou  $70^{\circ}\text{S}$ .

Quando numa certa região, o transporte total for muito intenso e na direção polar, podemos inferir o fenômeno de aquecimento. Dessa maneira detectamos dois aquecimentos bruscos não muito intensos em meados do inverno (9/7 e 17/8) e um na primavera (aquecimento final).

3.3.3 - Aquecimento brusco em meados de inverno

Os aquecimentos bruscos que detectamos não são muito intensos, como os do hemisfério norte. Para estudar tais aquecimentos observamos as Figuras III.5 e III.6. A primeira fase de aquecimento começou em fins de junho (18/6) e terminou em torno de 9 de julho (Miller et al, 1970). De fato, podemos observar a intensificação do máximo transporte de calor sensível em  $50^{\circ}\text{S}$ . A segunda fase de aquecimento começou em meados de agos-

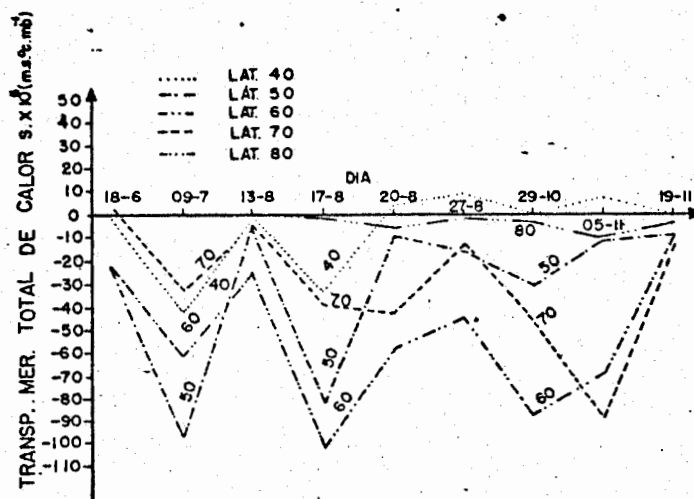


Fig. III.5 - Transporte meridional total de calor sensível por harmônicos transitórios, em dias de inverno e primavera, em 30mb.

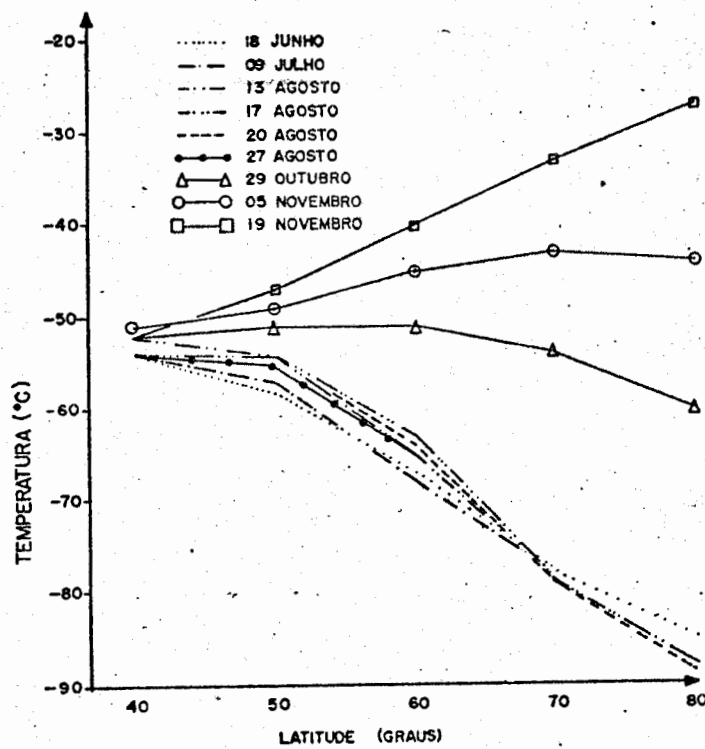


Fig. III.6 - Variação meridional da temperatura média zonal diária, em 30mb.

to (13/8) e terminou em torno de 17 de agosto. Neste caso, podemos ver a intensificação do máximo transporte em  $50^{\circ}$ S.

Observando a Figura III.6, podemos ver que apesar do transporte intenso na direção polar, o gradiente de temperatura não mudou. Po  
rém, houve um suave aquecimento local em torno de  $50 - 60^{\circ}$ S.

### 3.3.4 - Aquecimento final na primavera

O aquecimento final teve início em 29 de outubro e terminou em torno de 19 de novembro (Miller et al, 1970). Observemos as Figu  
ras III.5 e III.6. De fato, aos 5 de novembro, a região de máximo transporte aproximou-se bem mais para o polo, passando de  $60^{\circ}$ S (em 29 de outu  
bro) para  $70^{\circ}$ S, com aumento na intensidade, causando inversão do gradiente de temperatura meridional.

Quando o aquecimento ocorre em meados de inverno o transporte é maior nas latitudes baixas (9 de julho) e quando ocorre na primavera (aquecimento final) o transporte é bem maior nas latitudes altas (5 de novembro).

## CAPÍTULO IV

### TRANSPORTE DE CALOR SENSÍVEL POR PERTURBAÇÕES TRANSITÓRIAS NA ESTRATOSFERA SUPERIOR

#### 4.1 - MÉTODO PARA O CÁLCULO DO TRANSPORTE DE CALOR SENSÍVEL

Devido à falta de dados de observação para níveis superiores, a maioria dos pesquisadores concentrou seus estudos, tanto teóricos quanto observacionais, na estratosfera inferior. A estratosfera superior ainda não é bem conhecida, porque a única fonte de dados são os de foguetes, que são poucos e não amplos em tempo.

No hemisfério sul temos dados de apenas quatro estações meteorológicas de foguetes, situadas duas em latitudes tropicais (Ascension Islands e Natal), uma em latitude média (Mar Chiquita) e a última em latitude alta (Moledezhanja). Como podemos ver, não temos boa distribuição espacial de dados de foguetes e, portanto, não podemos calcular o transporte de calor pelo método das ondas.

Em vista disso, classificamos os dados de foguetes para regime de inverno (período com ventos de oeste predominantes) e regime de verão (ventos de leste predominantes) e depois calculamos o transporte local de calor por turbulências transitórias em pontos na vertical local, sobre as quatro estações, desde 20 km. até 56 km. de altura, com intervalos de 4 km.

A expressão matemática para tal tipo de cálculo é

$$\overline{YT} = \overline{V} \overline{T} + \overline{V'T'} \quad (\text{IV.1})$$

onde o primeiro termo do lado direito é o transporte por turbulências permanentes e o seguindo, por turbulências transitórias.

Em nosso trabalho calculamos apenas o transporte de calor sensível, S, por turbulências transitórias,  $\overline{V'T'}$ , utilizando a seguinte expressão matemática:

$$S = \frac{\sum_{i=1}^N V'_i T'_i}{N} \quad (\text{IV.2})$$

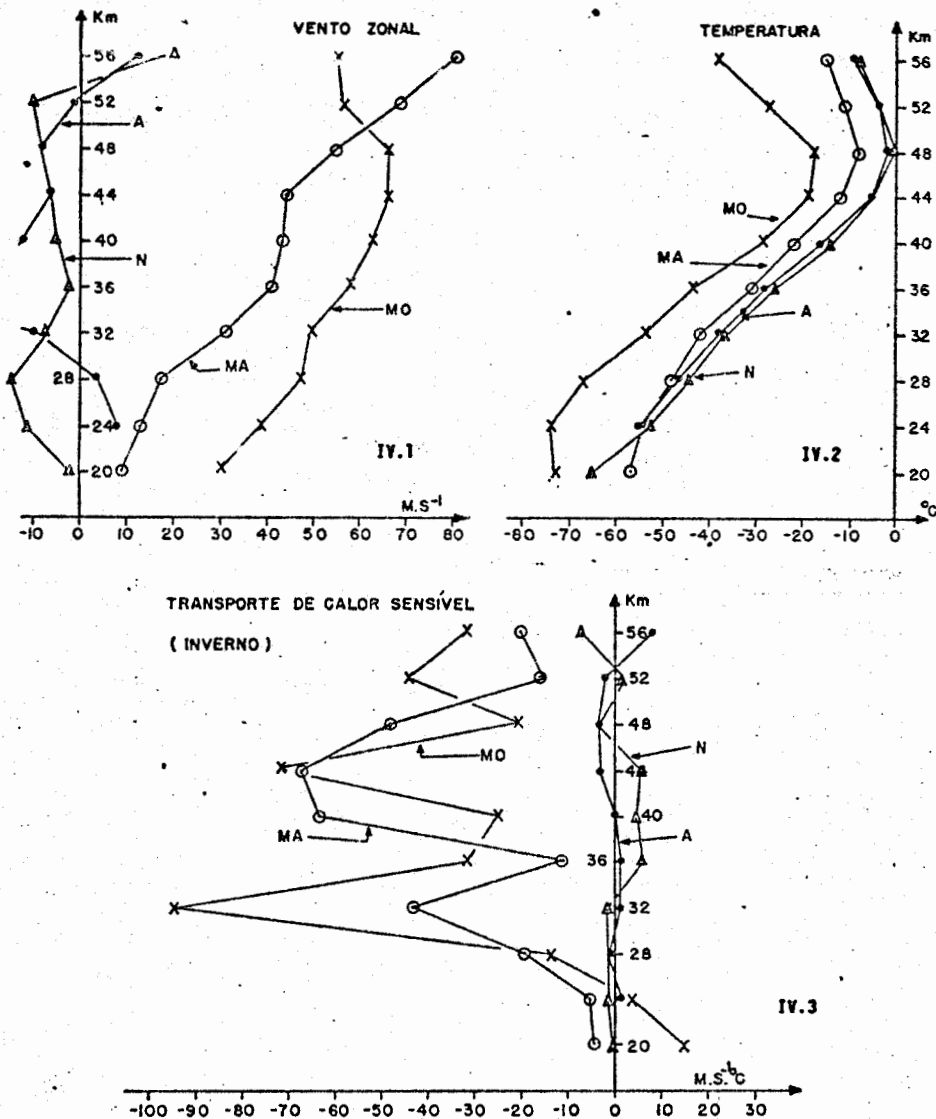
onde N é o número de observações em tempo, para cada nível.

Aqui, devemos chamar a atenção de que a medições de temperatura nas quatro estações são feitas por diferentes sistemas de sondagem por foguetes. A compatibilidade é boa até cerca de 45 km(Finger e Gelman, 1974). Não fizemos, aqui, nenhuma tentativa para corrigir os dados nos níveis superiores, uma vez que os erros relativos são esperados serem pequenos nos desvios da média a qual usamos para calcular o transporte de calor.

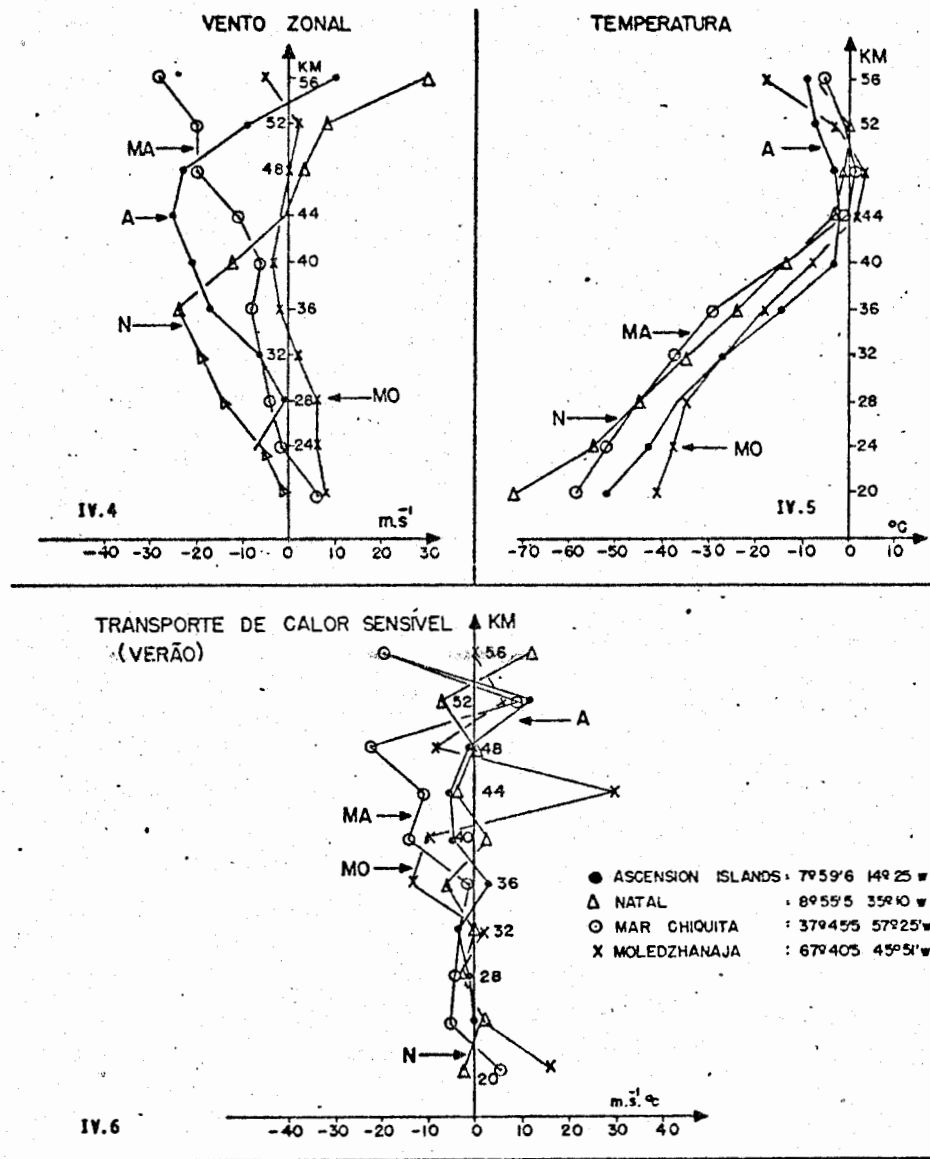
#### 4.2 - RESULTADOS

Os resultados do transporte, obtidos de (2), estão representados pelas Figuras IV.3.e IV.6 e nas Tabelas IV.2 e IV.1. Nas latitudes altas e médias, durante o regime de inverno, reinam ventos fortes de oeste geralmente crescentes com altitude e latitude, nas latitudes tropicais reinam geralmente ventos fracos de leste, Figura IV.1. As temperaturas na estratosfera inferior (20km) parecem atingir máximos nas latitudes médias, Figura IV.2. O transporte de calor de toda a estratosfera, nas latitudes tropicais é pequeno. Na estratosfera superior o transporte é grande e totalmente dirigido para o polo sul, Figura IV.3.

Quando o regime for de verão, os ventos em toda a estratosfera parecem ser dominantemente de leste e fracos, Figura IV.4. De acordo com a equação do vento térmico, as temperaturas dessa região, ao contrário do que ocorre em regime de inverno, geralmente são mais quentes nas latitudes altas do que nas médias, Figura IV.5. O transporte é pequeno em toda a estratosfera e a direção de transporte é muito variável com a altitude, Figura IV.6.



Figs. IV.1 a IV.3 - Variação do vento zonal, temperatura e transporte de calor sensível por perturbações transitórias, com a altitude e a latitude na estratosfera, no inverno.



Figs. IV.4 a IV.6 - Variação do vento zonal, temperatura e transporte de calor sensível por perturbações transitórias, com a altitude e a latitude na estratosfera, no verão.

TABELA IV.1

TRANSPORTE DE CALOR SENSÍVEL POR PERTURBAÇÕES TRANSITÓRIAS  
DURANTE REGIME DE VERÃO

Altura Estação \n	20	24	28	32	36	40	44	48	52	56
Ascension Isl. 7° 59'S 14° 25'W		0 (61)	-1 (77)	-3 (79)	3 (78)	-4 (78)	-5 (80)	-1 (80)	12 (79)	-18 (66)
Natal 8° 55'S 35° 10'W	-2 (2)	1 (17)	-3 (23)	0 (23)	-6 (23)	3 (23)	-3 (21)	-1 (21)	-7 (19)	10 (16)
Mar Chiquita 37° 45'S 57° 10'W	+5 (16)	-5 (21)	-4 (22)	-3 (22)	-1 (23)	-14 (22)	-11 (23)	-22 (20)	10 (20)	-18 (15)
Moledezhanja 67° 40'S 45° 51'E	16 (25)	2 (25)	-3 (25)	1 (25)	-13 (25)	-10 (26)	30 (26)	-8 (22)	6 (18)	0 (15)

Obs.: A unidade de altura é Km e a do transporte de calor sensível é (m.s.<sup>0</sup>C). Os números entre parênteses são números de observações.

TABELA IV.2

TRANSPORTE DE CALOR SENSÍVEL POR PERTURBAÇÕES TRANSITÓRIAS  
DURANTE REGIME DE INVERNO

Altura Estação	20	24	28	32	36	40	44	48	52	56
Ascension Isl. 7° 59'S 14° 25'W		2 (18)	-1 (58)	1 (59)	1 (58)	0 (58)	-3 (60)	-3 (59)	-2 (58)	7 (53)
Natal 8° 55'S 35° 10'W	0 (8)	-1 (11)	-1 (11)	-1 (11)	6 (11)	5 (11)	6 (10)	-3 (10)	2 (9)	-7 (9)
Mar Chiquita 37° 45'S 57° 25'W	-3 (11)	-5 (16)	-19 (20)	-44 (21)	-11 (23)	-67 (23)	-72 (25)	-48 (26)	-15 (25)	-19 (21)
Moledezhanya 67° 40'S 45° 51'E	15 (28)	3 (28)	-14 (28)	-94 (30)	-31 (29)	-25 (29)	-72 (27)	-20 (26)	-44 (23)	-41 (20)

Obs.: A unidade de altura é Km e a do transporte de calor sensível é  
(m.s.°C). Os números entre parênteses são números de observações.

## CAPÍTULO V

### CONCLUSÕES

Baseados na disponibilidade dos dados, dividimos o cálculo do transporte de calor sensível em três partes: transporte por ondas estacionárias em 100mb, por ondas transitórias em 30mb, e transporte por perturbações turbulentas na estratosfera superior.

No capítulo II calculamos a primeira parte do transporte. O transporte é geralmente para o polo sul e maior no inverno, particularmente nas latitudes altas. O transporte total também é bem maior no inverno que no verão. Além disso, o transporte total através de  $60^{\circ}$ S, no inverno, é bem maior que através de outras latitudes. As temperaturas ao sul de  $50^{\circ}$  sul, no inverno, decrescem no sentido do polo sul. Assim o transporte de calor sensível está dirigido para região de menor temperatura. Isto sugere a transformação de energia potencial disponível para a energia potencial da perturbação.

O transporte por ondas transitórias foi calculada no capítulo III. No nível de 30mb notamos que há predominância do harmônico 1 e 2 nos dias de inverno e do harmônico 1 nos dias de primavera. Em dias de inverno, o transporte total é maior nas latitudes mais baixas ( $50 - 60^{\circ}$ S) e em dias de primavera nas latitudes mais altas ( $60 - 70^{\circ}$ S). Mesmo com o transporte de calor no sentido do polo sul, no inverno, o gradiente de temperatura não muda até o início da primavera (29 de outubro). Esse fato su-

gera a importância do aparecimento da radiação solar para a mudança da circulação de inverno para a de verão.

Finalmente, no capítulo IV, calculamos o transporte de calor usando os dados de foguetes a fim de obtermos algumas informações sobre a estratosfera superior. Dependendo da direção do vento zonal, dividimos o ano em duas partes: inverno e verão. O transporte no inverno é maior nas estações em Mar Chiquita e em Moledezhanja. Nas estações tropicais em Ascension Island e Natal, o transporte é pequeno. No verão o transporte é pequeno em todas as quatro estações.

AGRADECIMENTOS

Aos Drs. Fernando de Mendonça e Luiz Gylvan Meira Filho,  
pelo apoio,

Dr. V. B. Rao, pela orientação,

Gloria M. Ribeiro, pela datilografia e a todos que,  
de uma maneira ou outra, tornaram possível a realiza-  
ção desse trabalho.

REFERÉNCIAS

- [1] CHARNEY, J. G. AND DRAZIN, P. G. - "Propagation of Planetary Scale Disturbances from the Lower into the Upper Atmosphere", Journal of Geophys. Res., 66, 83 - 109, 1961.
- [2]. FINGER, F. G. AND GELMAN, M. E. -"Some results of the WMO (CIMO) Rocketsonde Intercomparisons - Phase II", Presented at the 17 COSPAR Meeting - São Paulo, 1974.
- [3] JULIAN, P. R. AND LABITZKE, K. B. - "A Study of Atmospheric Energetics During the January - February Stratospheric Warming", Journal of Atmospheric Sciences, 22, 597 - 610, 1965.
- [4] KAO, S. K. AND SAGENDORF, J. F. - "The Large-Scale Meridional Transport of Sensible Heat in Wavenumber Frequency Space", Tellus, 22 (2), 172 - 185, 1970.
- [5] MILLER, A. J. - "The Transfer of Kinetic Energy from the Troposphere to Stratosphere", Journal of Atmosphere Sciences, 22, 597 - 610, 1965.
- [6] MILLER, A. J., FINGER, F. G. AND GELMAN, N. E. - "30mb Synoptic Analyses for the Southern Hemisphere Winter Derived with the Aid of Nimbus III (SIRS) Data", NASA Technical Memorandum: NASA TM X-2109, 1-27, December 1970.
- [7] MURGATROYD, R. J. -"The Physics and Dynamics of the Stratosphere and Mesosphere", Reports on Progress in Physics, 33(9), 817-880, 1970.
- [8] NEWELL, R. E. - "Preliminary Study of Quasi-Horizontal Eddy Fluxes from Meteorological Rocket Network Data", Journal of Atmospheric Sciences, 20, 213-225, 1963.

- [9] NEWELL, R. E. - "Energy and Momentum of Atmosphere Above the Tropopause"  
Problems of Atmospheric Circulation: Edited by R. V. Garcia e  
T. F. Malone, 106, 126, 1966.
- [10] OORT, A. H. - "On the Energetics of the Mean and Eddy Circulation in  
the Lower Stratosphere", Tellus, 16 (3), 309 - 327, August 1964.
- [11] RAO, V. B. - "On some Aspects of Stationary Harmonics of the  
Atmosphere", Journal of Indian Geophysical Union, 131 - 136, 1970.
- [12] PEIXOTO, J. P. - "Hemispheric Temperature Conditions During the Year  
1950". Scientific Report n° 4, Planetary Circulation Project,  
Mass., Int. Tech., 211 pp.
- [13] SALTZMAN, B. - "Equations Governing the Energetics of the Larger Scales  
of Atmospheric Turbulence in the Domain of Wave Number", Journal  
of Meteorology, 14, 513 - 523, 1957.
- [14] STARR, V.P. - "Studies of the Atmospheric General Circulation", Final  
Report, Part 1, General Circulation Project Contract n° AF19,  
122-153, Dep. of Meteor., Mass. Inst. of Tech., 535, 1954.
- [15] STARR, V. P. - "Questions Concerning the Energy of Stratospheric  
Motions", Archiv. für met. Geophys. und Brokl., A., 12, 1-7, 1960
- [16] TALJARD, J. J., H. VAN LOON AND ET AL. - "Climate of Upper Air, Part 1".  
Atlas, National Weather Service Comand, Washington Navy Yard,  
Bldg. 200, Washington, D.C. 20390, Vol. 1, 1969.
- [17] WHITE, R. M. - "The Counter Gradient Flux of Sensible Heat in the Lower  
Stratosphere", Tellus, 6, 177 - 179, 1954.
- [18] WHITE, R. M., AND NOLAN, G. F. - "A Preliminary Study of the Potential  
to Kinetic Energy Conversion Process in Stratosphere", Tellus,  
12 (12), 145 - 148, 1960.